



بررسی عوامل محدودکننده‌ی پتانسیل مخزنی (رسوبات سازند) میشان در باخته فارس

علیرضا رستگار لاری

گروه زمین‌شناسی دانشگاه آزاد اسلامی واحد شیراز

پنجه

سازند میشان با سن میوسن میانی بخش میانی گروه فارس را تشکیل می‌دهد. برای تعیین محدودیت‌های پتانسیل مخزنی سازند میشان سه برش زمین‌شناسی در باخته فارس و یک برش مقایسه‌ای در جنوب خاوری بوشهر بررسی شد. در این برش‌ها سازند میشان از رخساره‌های شیل، مارن، ماسه‌سنگ و سنگ‌های کربناته تشکیل شده است. توسعه نیافتن سیماهای تخلخل اولیه و ثانویه از یک سو و رخداد فرآیندهای دیاژنتیکی کاهنده‌ی تخلخل مانند سیمانی شدن، تراکم، پرشدگی حفرات با کلسیت و سیلیس در جازا و نیز آشفتگی زیستی از سوی دیگر، منجر به نبود تخلخل کافی در این نهشته‌ها شده است.

واژه‌های کلیدی: سازند میشان، سیماهای تخلخل، گروه فارس، محدودیت‌های پتانسیل مخزنی، میوسن.

Study of reservoir potential limiting factors of the Mishan Formation in the west of Fars

A. R. Rastegar Lari

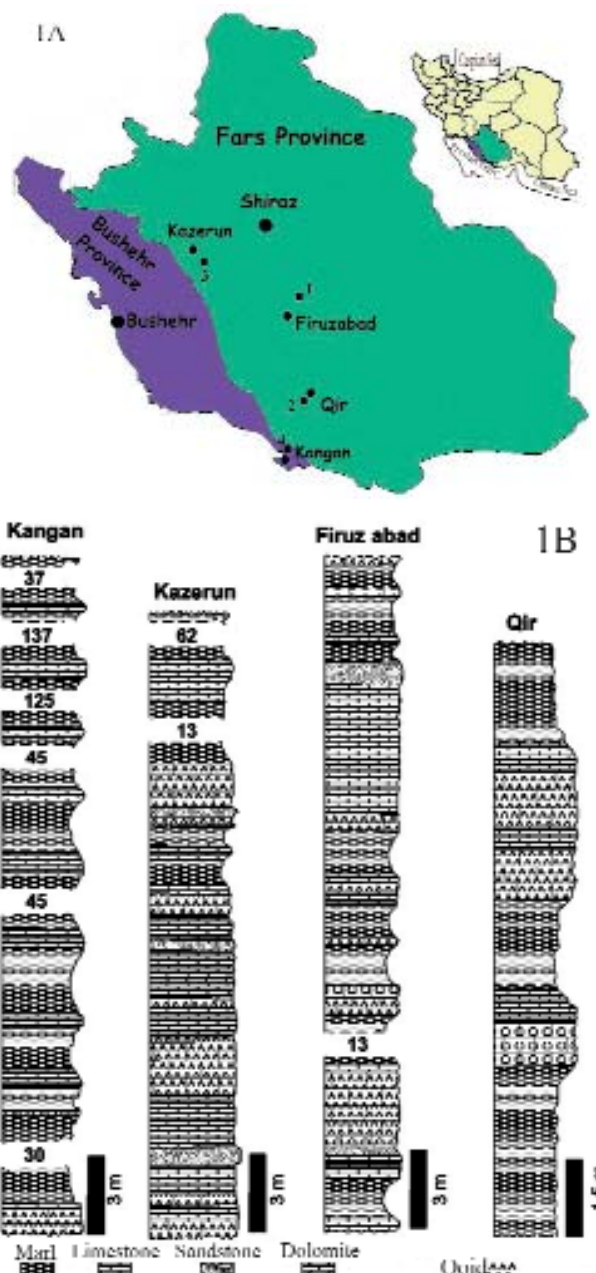
Department of Geology, Islamic Azad University, Shiraz Branch, Shiraz, I.R. Iran

Abstract

The Mishan Formation (Middle Miocene) is the middle part of the Fars Group. To determine the limiting factors of reservoir potential in the Mishan Formation in Fars Province, three geological cross sections in western Fars and a comparative one southwest of Boushehr have been studied. In these sections the Mishan Formation consists of shale, marl and sandstone and limestone facies. Poorly developed primary and secondary porosity features on the one hand, and occurrence of porosity decreasing diagenetic processes such as cementation, compaction, calcite and silica fillings and also bioturbation on the other hand lead to absence of sufficient porosity in these deposits.

Key words: Fars Group, Miocene, Mishan Formation, porosity feature, reservoir potential limitations.

۱- مقدمه



تصویر ۱-A- موقعیت جغرافیایی نواحی مورد مطالعه (۱: فیروز آباد، ۲: قیر، ۳: کازرون، ۴: کنگان) B- ستون سنگی سازند میشان در برش های مورد مطالعه. امکان پیدایش برحی از انواع تخلخل های اوکیه وجود دارد.

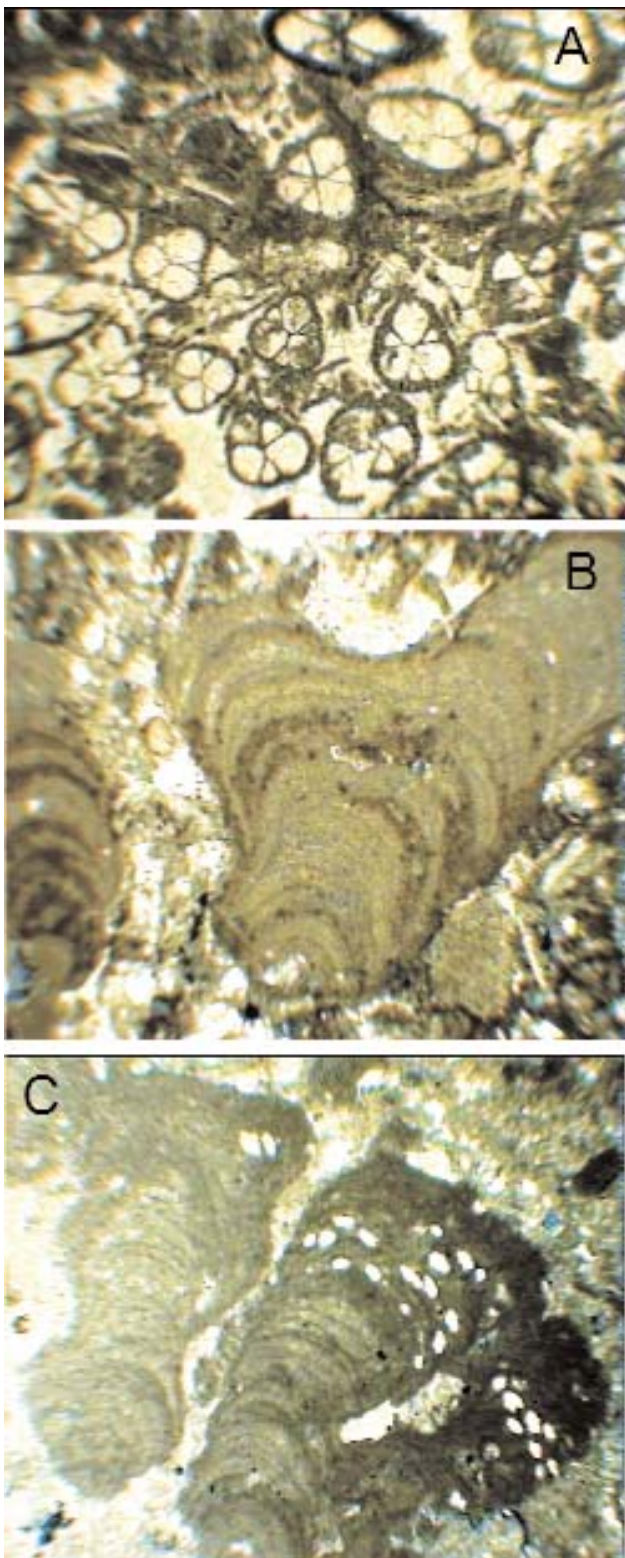
۲- خلل و فرج اوکیه مومود در سازند میشان

سیماهای تخلخل اوکیه در سازند مورد مطالعه عبارتند از:
۱- خلل و فرج موجود در بین دانه ها (Interparticle porosity): این حفرات در بین دانه ها و در هنگام ته نشست آن ها پدید می آیند و در صورتی که به وسیله‌ی گل اوکیه و یا کلسیت اسپاریتی ثانویه پر شده و محفوظ مانده باشند، به صورت تخلخل اوکیه دیده می شوند. در نمونه های مورد بررسی، مقدار این نوع تخلخل به علت حفظ

سازند میشان با سن میوسن میانی (مطیعی ۱۳۷۲، رستگار لاری و لاسمی ۱۳۸۴) یکی از اعضای گروه فارس در ایالت زمین شناسی زاگرس است (James & Wynd 1965, Favre 1974). در این گروه سازند های گچساران و رازک بیشترین گسترش سطحی و سازند های میشان و آغازاری کمترین رخنمون را به خود اختصاص می دهند. سنگ شناسی سازند میشان در برگیرنده‌ی لایه های متناوب شیل، مارن، ماسه سنگ و سنگ آهک است. در این مطالعه ابتدا به بررسی ویژگی های سنگ شناختی و تعیین رخساره ها و محیط های رسوبی سازند پرداخته شد (جهانی ۱۳۷۹, Carozzi 1981, Carozzi 1989). پس از آن به خصوصیات پتروگرافیکی و تغییرات دیاژنتیکی (Murray 1960, Moore 1980, Bebout & Moore 1979) سازند توجه شده است تا این طریق عل محدودیت مخزنی سازند مورد اشاره در مناطق مورد مطالعه (تصویر ۱-A) مشخص شود.

۳- بدرسی تخلخل در سازند میشان

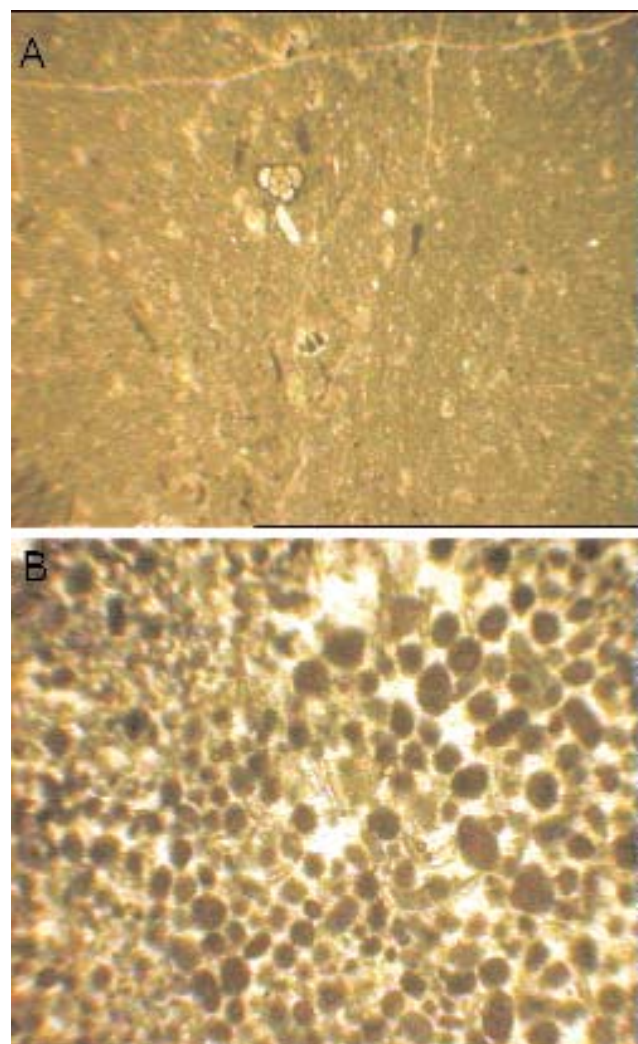
سازند میشان از لایه های سنگ آهکی، ماسه سنگی، شیل و مارنی تشکیل شده است که به صورت متناوب و باستبراهای متفاوت بر روی هم قرار دارند. شیل ها و مارن های این سازند به خاطر داشتن دانه های ریز و ایجاد فرایند تراکم در جین دیاژنز، تراوایی بسیار پایینی دارند (Shinn et al. 1977) و از نظر مخزنی تنها سنگ پوش اند. لایه های ماسه سنگی نیز بسیار کم تعداد بوده و بیشتر به صورت لایه های بسیار نازک دیده می شوند. بنابراین برای بررسی تخلخل و تراوایی این سازند بیشتر به بخش های آهکی آن توجه شده است. سیماهای تخلخل در نهشته های کربناته به دو دسته‌ی اوکیه و ثانویه تقسیم می شوند (آدابی ۱۳۶۶, Choquette & Pray 1970). همچنین باید اثر فرآیندهای ثانویه ای افزاینده و کاهنده تخلخل شود. نهشته های کربناته ای سازند میشان به دو دسته‌ی رخساره ای ریزدانه و درشت دانه تقسیم می شوند. در ستون های رخساره ای سازند مورد مطالعه به طور میانگین ۷۸ درصد، رخساره های ریزدانه و تنها ۲۲ درصد رخساره های درشت دانه دیده می شوند (تصویر ۲-B). در رخساره های ریزدانه، گل های کربناته تخلخل اوکیه را بسیار کاهش می دهند (تصویر ۲-A)، اما در رخساره های دانه درشت تر



تصویر ۳- A- خلل و فرج بین دانه‌ای در بین بقایای فسیلی بریوزوآها، B و C- ریف‌های کومه‌ای جلبکی (Reef-Algal Patch) کوچک اندام موجود در سازند مورد مطالعه

۳- خلل و فرج موجود در درون دانه‌ها -بقایای گاستروپد و دوکفه‌ای (Interparticle porosity): وجود مقدار زیادی از موجودات حجره‌دار مثل دوکفه‌ای‌ها و گاستروپودها امکان ایجاد

نشدن، بسیار کم است (تصویر ۲-B و ۳-A).
۲- خلل و فرج ناشی از رشد شبکه‌ای (در بقایای جلبک‌ها و بریوزوآها) (work porosity-Growth frame): در رسوبات این سازند آثار موجودات ریفسازی که قادر به تشکیل کلونی‌های بزرگ و پرتخلخل باشند (Al Sharhan 1987)، وجود ندارد. از موجودات ریفساز، تنها جلبک‌های کوچک اندامی دیده می‌شوند که فقط قادر به تشکیل ریف‌های کومه‌ای جلبکی بسیار کوچک بوده‌اند (تصویر ۳-B و C).



تصویر ۲- A- رخساره‌ی دانه‌ریز گل آهکی بدون تخلخل، B- تخلخل بین دانه‌ای در رخساره‌ی آاسپاریتی (Oosparite).

همچنین بریوزوآهای کلونی‌ساز موجود در این نهشته‌ها با به دام اندازی (Baffling) گل‌های کربناته حجم زیادی از تخلخل درون شبکه‌ای خود را از دست داده‌اند (تصویر ۴-A و ۴-B). به طورکلی در این نهشته‌ها تخلخل ناشی از رشد شبکه‌ای بسیار کم است.

۴- فلل و فرجه ثانویه‌ی پدید آمده در اثر پدیده‌های دیاژنتیک افزاینده

پدیده‌های ثانویه نیز در ایجاد خلل و فرج موجود در نهشته‌های آهکی این سازند موثر بوده‌اند و در برخی موارد اثر افزاینده‌ی خود را نشان داده‌اند. دولومیت‌های این سازند اوکیه بوده (Lasemi et al. 1989) و پدیده‌ی دولومیتی شدن در آن به علت سن کم و نیز فراهم نبودن شرایط مناسب صورت نگرفته و لذا تخلخل بین بلورین پیش‌رفته در سنگ‌های کربناته‌ی سازند مورد مطالعه دیده نمی‌شود (تصویر ۵-A)، با این حال اثرات دیگری از تخلخل ثانویه در نمونه‌ها به شرح زیر دیده می‌شود:

- تخلخل قالبی (Moldic porosity): عبور سیالات دیاژنتیک از میان رسوب، می‌تواند منجر به انحلال انتخابی دانه‌های حل شونده‌تر مانند کانی‌های تبخیری و اووئیدها شده و حفرات ثانویه‌ای را در رسوب پدید آورد (تصویرهای B-۵ و C-۵).
- تخلخل انحلالی (Vuegy porosity): انحلال غیرانتخابی ناشی از عبور سیالات دیاژنتیک باعث ایجاد حفرات غیرمنظم انحلالی شده است (تصویر ۵-D).

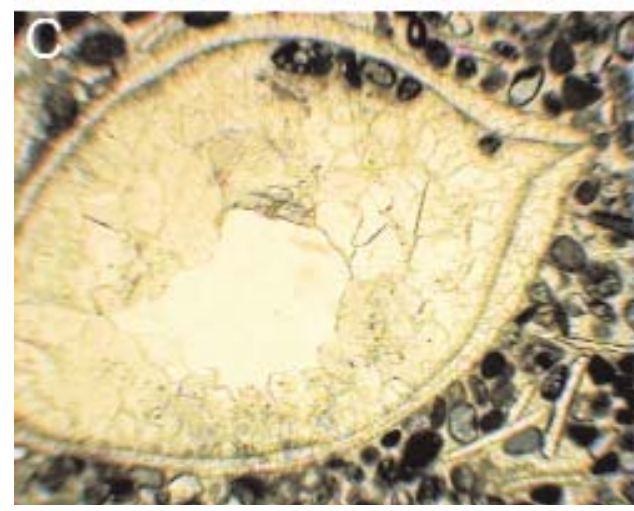
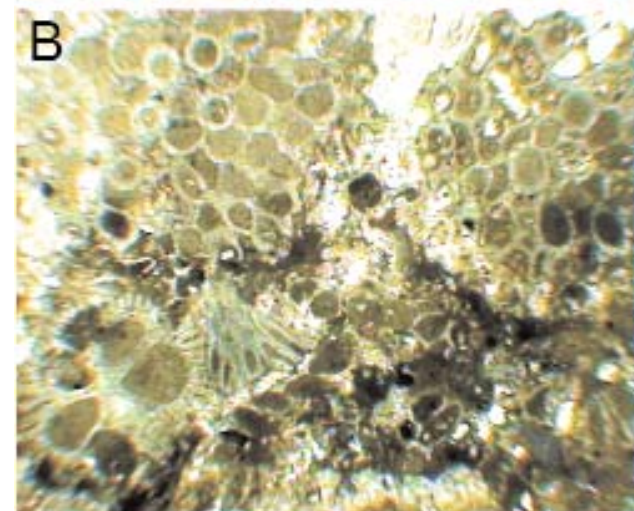
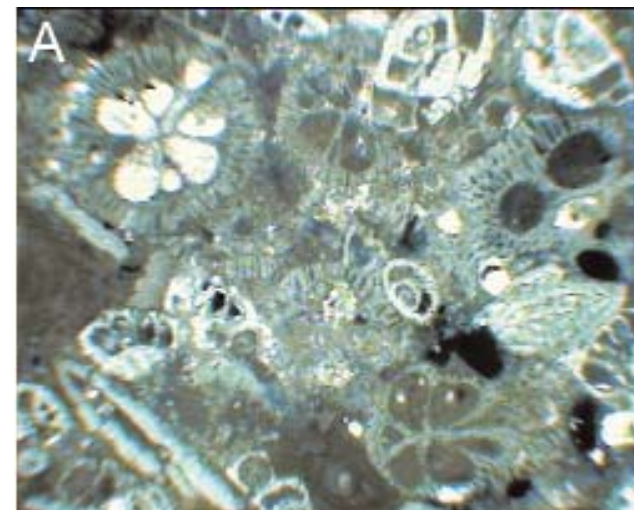
۳- تخلخل روزنه‌ای (Fenstral porosity): خشک شدگی رسوبات و یا تجزیه‌ی مواد آلی موجود در آن‌ها، باعث به دام افتادن بخار آب و دی‌اکسید کربن در رسوب شده و در محل انباشت این گازها انحلال آهک باعث پیدایش حفرات نامنظم فنستراً می‌شود (Shinn 1968) (تصویر ۵-E).

۵- فلل و فرجه از بین رفته در اثر پدیده‌های دیاژنتیک کاهنده

۱- سیمانی شدن و تراکم: رشد سیمان و اتصال دانه‌ها به یکدیگر همراه با کاهش فضاهای خالی بین دانه‌ای است. این پدیده بیشتر در رخساره‌های درشت دانه که سیمانی شدن را بیشتر تجربه می‌کنند فراوان‌تر دیده می‌شود (تصویرهای A-۶ و B-۶). دیاژنر زودرسی که معمولاً با سیمانی شدن رسوبات همراه باشد موجب می‌شود تا رسوبات کمتر متراکم شوند. در رخساره‌های دانه‌ریز که سیمانی شدن کمتر صورت می‌گیرد آثار تراکم بیشتر دیده می‌شود.

۲- پرشدگی حفرات با کلسیت و سیلیس در جازا: کلسیت و سیلیس در جازا و ثانویه در حین دیاژنر بیشتر فضاهای خالی موجود در

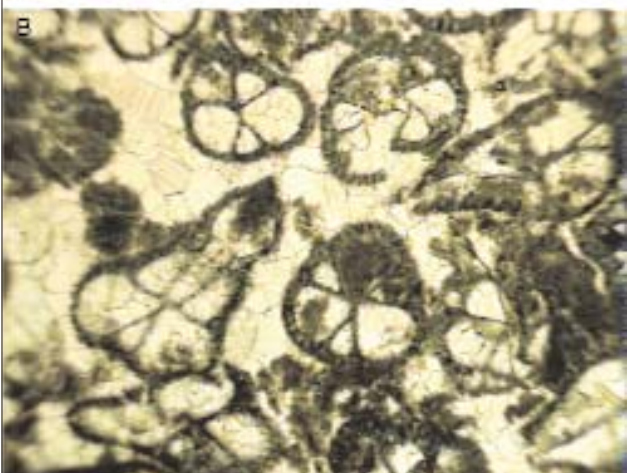
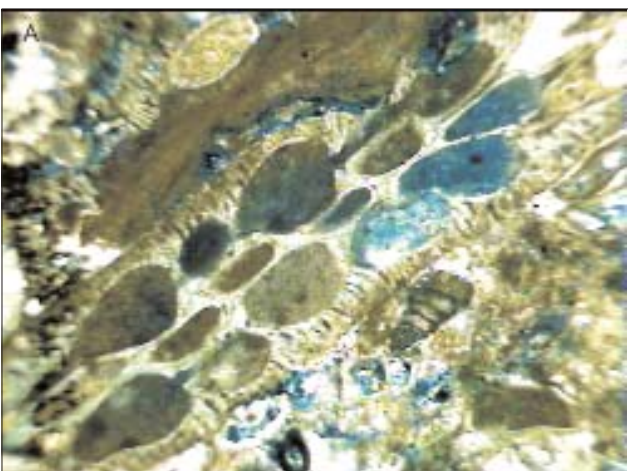
تخلخل اوکیه‌ی پناهگاهی و درون ذره‌ای را فراهم می‌کند. این حجرات در صورتی که به وسیله‌ی گل اوکیه و یا کلسیت اسپاریتی ثانویه پر نشده و محفوظ مانده باشند، به صورت تخلخل اوکیه دیده می‌شوند. در نمونه‌های مورد بررسی، مقدار این نوع تخلخل نیز به علت حفظ نشدن، بسیار کم است (تصویر ۴-C).



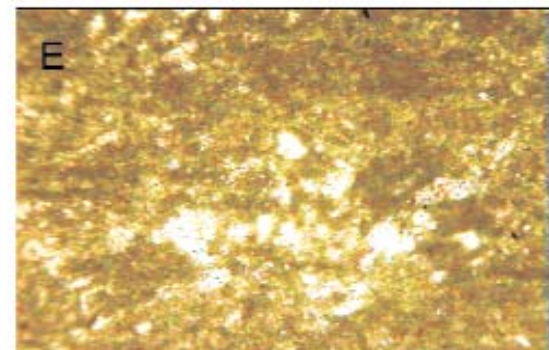
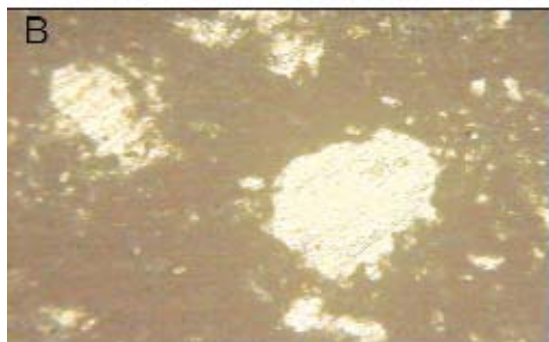
تصویر ۴-A و B: دو نوع تجمع گل‌های کربناته در بین انباشته‌های پریوژن‌آبی، C- خلل و فرج درون دانه‌ای در درون دانه‌ی فسیلی دوکفه‌ای.

بین دانه‌ها، درون صدف دوکفه‌ای‌ها و گاستروپودها، فضاهای قالبی، کanalی و نیز روزنه‌ای موجود در رسوبات این سازند را پر کرده‌اند و مقدار تخلخل را بسیار کم کرده‌اند (تصویرهای A-۷ و B-۷).

-۳- آشفتگی زیستی: موجودات زنده نیز در حین اعمال حیاتی شان با ایجاد آشفتگی در نظم اوکیه‌ی رسوبات باعث کاهش بخشی از این تخلخل در رسوبات گردیده‌اند (تصویرهای C-۷ و D-۷).



تصویر A-۶ و B: کاهش فضای بیندانه‌ای در اثر تراکم و سیمانی شدن دانه‌های بریوژوا.



۴- نتیجه‌گیری

از نظر پتانسیل مخزنی لایه‌های سازند میشان به دو دسته لایه‌های شیل و مارن با نفوذپذیری کم و سنگ‌آهک‌های با نفوذپذیری محدود تقسیم می‌شوند.

لایه‌های شیلی و مارنی به صورت اوکیه‌ی فاقد خواص مخزنی بوده و تنها نقش سنگ‌پوش را دارند. در نواحی مورد مطالعه لایه‌های آهکی این سازند شواهد تخلخل بالای اوکیه‌ی را از خود نشان نمی‌دهند

تصویر ۵- A- دولومیت اوکیه‌ی ریزلور و بدون آثار تخلخل، B- تخلخل قالبی کانی‌های تغییری، C- تخلخل قالب ایلد، D- آثار انحلالی غیرانتخابی کanalی، E- نمونه‌ای از تخلخل شبکه‌ای (فنستر)

و حتی در برخی موارد نیز تخلخل ناچیز اوّلیه مموجود در این لایه ها در اثر عوامل ثانویه کاهنده از بین رفته است. فرآیندهای تخلخل افزای که معمولاً به طور ثانویه توده های سنگ را تحت تأثیر قرار می دهند در این سازند نمود آن چنانی از خود نشان نمی دهند.

مراجع

- آدیبی، م، ۱۳۶۶، "سنگ های رسوبی شیمیابی و بیوشیمیابی"، انتشارات آستان قدس رضوی، ۳۴۴ ص.
- جهانی، د، ۱۳۷۹، "تحلیل حوضه‌ی رسوبی نهشته‌های سازند الیکا در البرز مرکزی و شرقی، پایان نامه‌ی دکترای دانشگاه آزاد اسلامی، ۳۱۵ ص.
- رستگار لاری، ع. و لاسمی، ی، ۱۳۸۴، "محیط رسوبی و چینه‌نگاری سکانسی سازند میشان (میوسن میانی) در نواحی باخته فارس و خاور بوشهر: نهشته‌های حوضه‌ی رسوبی جلوی کمرنگ چین خورده‌ی جنوب باخته ایران، خلاصه مقالات بیست و چهارمین گردهمایی علوم زمین، وابسته به سازمان زمین‌شناسی کشور.
- مطیعی، ه، ۱۳۷۲، "زمین‌شناسی ایران، چینه‌شناسی زاگرس، انتشارات سازمان زمین‌شناسی و اکتشافات معدنی کشور، ۵۳۶ ص.

Al Sharhan, A. S., 1987, "Geology and reservoir characteristics of carbonate build-ups in giant Bu Hasa oil field (Abu Dhabi-UAE)", *AAPG Bull.*, Vol. 71 (10): 1304-1318.

Bebout D. G. & Moore, C. H., 1979, "Geology of carbonate porosity", *AAPG Department of education, P. A1-A124*.

Carozzi, A. V., 1989, "Carbonate rock depositional model", *Prentice Hall, New Jersey, 604p*.

Choquette, P. W. & Pray, L. C., 1970, "Geologic nomenclature and classification of porosity in sedimentary carbonates", *AAPG Bull.*, Vol. 54 (7): 207-250.

Favre, G., 1974, "The post Asmari Formations of southwest Iran", *IOOC Rep. No. 1220 (Unpub)*, 326p.

James, G. A. & Wynd, J. G., 1965, "Stratigraphic nomenclature of Iranian oil consortium agreement area", *AAPG Bull.*, Vol. 49 (12): 2182-2245.

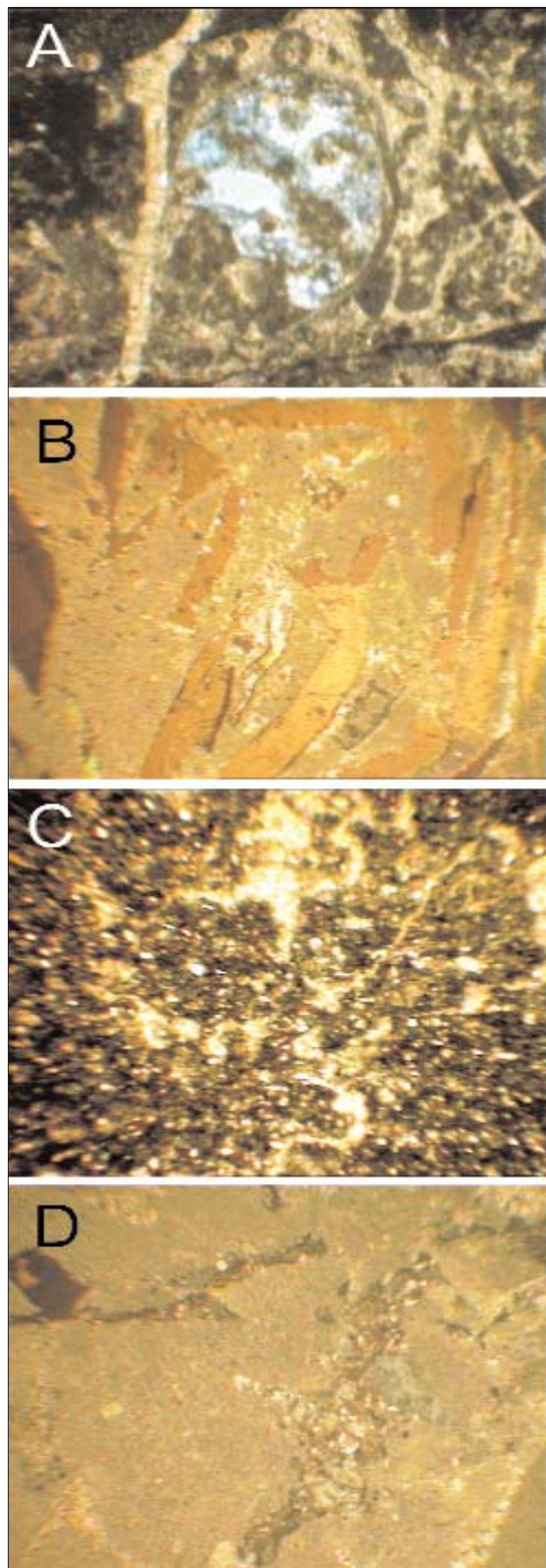
Lasemi, Y. & Carozzi, A. V., 1981, "Carbonate microfacies and depositional environments of the Kinkaid Formation (upper Mississippian) of the Illinois Basin, USA", *VIII Congress Geol. Argentino, Sanluis, Acta SII*: 358-384.

Lasemi, Z., Boardman, M. R. & Sandberg, P. A., 1989, "Cement origin of supratidal dolomite, Andros Island, Bahamas", *J. Sed. Pet.*, (59): 249-257.

Moore, C. H., 1980, "Porosity in carbonate rock sequence", In: Bebout et al. 1980, "Geology of Carbonate Porosity", *AAPG Department of education, P. A1-A124*.

Murray, R. C., 1960, "Origin of porosity in carbonate rocks", *J. Sed. Pet.*, (30): 84-102.

Shinn, E. A., 1968, "Practical significance of birdseye



تصویر ۷A و ۷B: پرشدگی حفرات به وسیله سیلیس جانشینی، C و D- آثار آشفتگی زیستی در بین رسوبات

structures in carbonate rocks", *J. Sed. Pet.*, (53): 619-629.

Shinn, E. A., Halley, R. B., Hudson, J. H. & Lidz, B. H., 1977, "Limestone compaction: an enigma", *Geology*, Vol. 5: 21-25.